

## II-17 浅海波による内筒形浮体の運動

東京大学 工学部

東京大学 工学部

東京大学 大学院

正会員 堀川清司

正会員 渡辺晃

学生会員 山田恭央

### 1. 緒言

著者らは先に、繫留されていない内筒形浮体を対象とし、ポテンシャル流としての扱いを基に、浅海波と浮体の相互作用を検討した<sup>1)</sup>。その妥当性を検証するため実験を行ない、計算結果と比較したところ、浮体の水平運動および回転運動について、両者に著しい差異が認められた。そこで、再び理論式に立返り検討を加えた結果、トルクの表示式が不完全であることがわかった。以下は、修正を加えた理論式に基づいて計算した結果を、実験値と比較検討したものである。

### 2. 理論式の修正

図-1に示すように、一様水深 $h$ の領域を $x$ の正の方向へ進行する角周波数 $\sigma$ の入射波にさら、半径 $a$ 、吃水 $gR$ の内筒形浮体の運動を考える。浮体は非粘性とし、波および浮体の運動は共に微小不線形の扱いが可能であると仮定する。

前報においては、浮体の側面に働く静水圧によるトルク $\bar{T}_r$ を0とおいていたが、これは誤りで、浮体が角らずだけ回転したときには、

$$\bar{T}_r = \frac{\pi}{2} \rho g (a g h)^2 \left(1 + \frac{2\bar{z}_o}{gR}\right) \delta \quad \dots (1)$$

なりトルクが生じる。従って、前報の式(15)中の係数 $\beta$ は次のよう書き直す必要がある。

$$\beta = 1 / \left[ -\gamma g + \frac{3}{\sigma^2 R} - \frac{\bar{z}_o}{2} \left\{ 1 - \frac{1}{6} \left( \frac{a}{gR} \right)^2 \right\} - 2 \frac{3}{\sigma^2 R} \left( \frac{gR}{a} \right)^2 \left( 1 + \frac{2\bar{z}_o}{gR} \right) \right] \quad \dots (2)$$

これに伴ない、 $R/a = 2\pi a/L$ が0に近づいた時の漸近表示式(29)中の $A_\theta$ は、 $A_\theta \approx Ra$ となり、浮体の回転角の振幅は $\pi H/L$ となって、水面での水粒子の動きと完全に一致することになる。

### 3. 浮体の運動に関する実験

内筒形浮体模型としては、半径5cm、肉厚3mmのアクリル樹脂パイプを用い、その内部に鉛の錠を入れることにより、浮体の吃水や重心位置( $\bar{z}_o = -3/4 \cdot gR$ )を調整した。実験は長さ25m、幅80cm、深さ1mの2次元造波水槽で行ない、入射波の測定には抵抗線式波高計を、浮体の運動の観察には16mmシネカメラを使用した。また、波高の影響をみるために、平均水位の条件に対して実験波高を約2cmと4cmの2種類選んだ。所定の条件に造波機を設定後、円筒を浮かべて波を起し、入射波および浮体の運動がほぼ定常に達したところで、シネカメラにより浮体の運動を撮影した。

浮体の運動に関して理論値との比較に必要な値は、水平、鉛直および回転運動の振幅と位相である。入射波の1周期あたりの浮体回転運動の

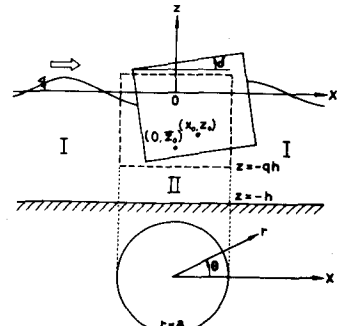


図-1 内筒形浮体の運動

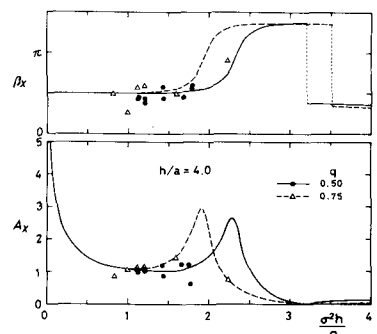


図-2 (a) 水平運動の振幅と位相角 ( $R/a = 4.0$ )

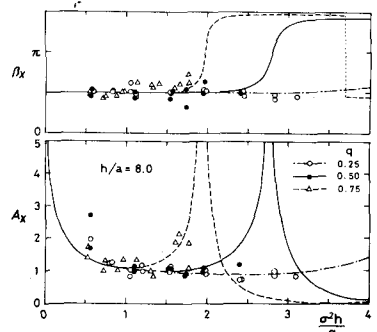


図-2 (b) 水平運動の振幅と位相角 ( $R/a = 8.0$ )

1周期を基本サイクルとし、この中で各々の最大値、最小値、およびその時のフィルム上の駆数表示を読みとりることによりデータを得た。

特に浮体の水平運動については、浮体が波の進行方向に drift していくため、正確な極値を読み取ることが困難である。そこで1周期間の drift 量を測定し、それが1周期によつた。一定速度で生じていらるべく仮定して、水平運動の振幅を補正した。入射波の周期が短かく drift 量が極めて大きいケースについては、水平運動に関する実験データから除外した。

#### 4. 理論値と実験値の比較

入射波の振幅 $\sigma^2 h/g$ を用いて無次元化した各運動成分の振幅、すなはち $A_x = 1 \times 0.1/S_0$ ,  $A_z = 1 \times 0 - E_0/1/S_0$ ,  $A_\theta = 1 \times 1/a/1/S_0$ 、およびそれらの位相角 $\beta_x$ ,  $\beta_z$ ,  $\beta_\theta$ について、理論値と実験値を比較したもののが、図-2～4である。

(1) 水平運動について： 実験値のちらばりがやや大きいが、理論値との差異は±20%以内にはほぼあります。ただし、 $\sigma^2 h/g$ が小、すなはち相対水深が小さいところでは差異が大きくなるのは、入射波の非線形性が増し倍周波数成分の影響が増すことや、抗力が無視できなくなることによると思われる。

(2) 鉛直運動について： 振幅の peak を生じた $\sigma^2 h/g$ の値や、peak よりはやれたところでの $A_z$ の値は、実験と理論が概ね一致する。しかし、peak 付近の $A_z$ の値は、一般に実験値の方がかなり小さくなっている。この傾向は $a/a$ および $g$ が小さいほど顕著となる。浮体の運動を微小とおいていたり理論式の仮定が、peak 附近では満足されなくなつてくらうことがうかがえる。

(3) 回転運動について： これについても鉛直運動と同様の傾向がみられる。peak 附近で位相角が急に増加する方が実験値からも確かめられた。

なお、図-2～4の実験値において、入射波の大小による記号の区別は、繁雑になるので省略した。一般的にいって、波高が2cm程度の場合は、4cmの場合に比して、peak 附近で10～30%程度、運動の振幅が大きく、より理論値に近い。

#### 5. 結論

理論計算に先立つて実験を行つたため、各運動成分の極大値附近に対する条件のデータを充分に得ることはできなかつた。しかししながら、オランシャル流れとしての線形の扱いでも、円筒形自由浮体の運動をほぼうえられることはわかつた。今後はこれらの成果を基に、極大値附近のより厳密な扱いを進めると共に、堅船浮体や、と複雑な形状の浮体に対する研究を続けていく予定である。

参考文献 ① 堀川清司・渡辺晃：円筒形浮体と浅海波の相互作用、第19回海岸工学講演会論文集、pp. 419～425、1972.

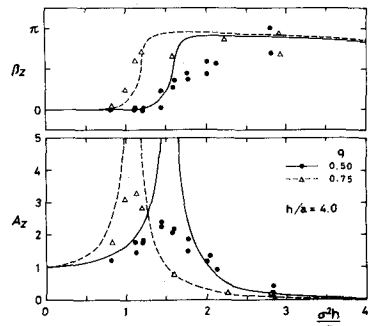


図-3(a) 鉛直運動の振幅と位相角 ( $h/a = 4.0$ )

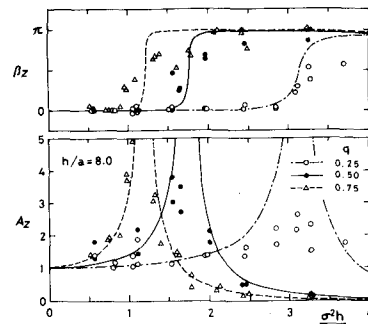


図-3(b) 鉛直運動の振幅と位相角 ( $h/a = 8.0$ )

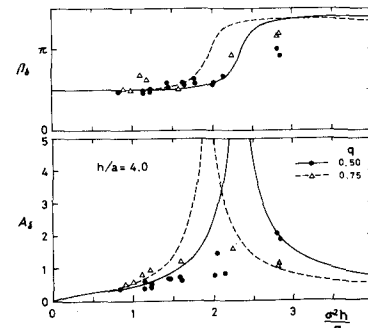


図-4(a) 回転運動の振幅と位相角 ( $h/a = 4.0$ )

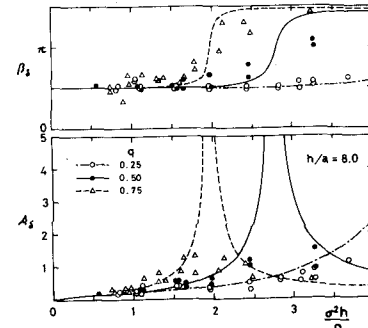


図-4(b) 回転運動の振幅と位相角 ( $h/a = 8.0$ )